

УДК 517.977

С.Ф. Николаев

## ЧИСЛЕННАЯ ОЦЕНКА ИНТЕРВАЛА ДОКРИТИЧНОСТИ

В некоторых приложениях математической физики и теории оптимального управления используется понятие чебышевской системы совокупности скалярных функций, непрерывных и ограниченных на некотором интервале  $J$ . При этом возникает задача нахождения такого интервала максимальной длины (интервала докритичности), на котором данная система функций остается чебышевской. В этой статье построен численный алгоритм оценки длины интервала докритичности.

Совокупность непрерывных ограниченных функций

$$\xi_1(t), \dots, \xi_n(t) \quad (1)$$

называется *чебышевской системой* ( $T$ -системой) на некотором интервале  $[t_0, t_0 + \sigma)$ , если всякая нетривиальная линейная комбинация этих функций имеет на  $[t_0, t_0 + \sigma)$  не более  $n - 1$  геометрически различных (т.е. без учета кратностей) нулей.

Основное свойство чебышевских систем известно под названием теоремы С.Н. Бернштейна [1, С.53]: *если совокупность (1) является  $T$ -системой на  $[t_0, t_0 + \sigma)$ , то для любого набора точек  $t_1, \dots, t_{n-1}$  таких, что  $t_0 \leq t_1 < t_2 < \dots < t_{n-1} < t_0 + \sigma$ , найдется линейная комбинация функций (1), имеющая простые нули в точках  $t_i$  и не имеющая других нулей на  $[t_0, t_0 + \sigma)$ .*

Кроме того, совокупность (1) является  $T$ -системой на  $[t_0, t_0 + \sigma)$  в том и только в том случае, если для любого набора точек  $t_1, \dots, t_n$  таких, что  $t_0 \leq t_1 < t_2 < \dots < t_n < t_0 + \sigma$ , определитель  $\det(\xi_i(t_j))_{i,j=1}^n$  отличен от нуля (см. [1, С.51]).

Обозначим через  $\sigma(t_0)$  точную верхнюю грань таких  $\sigma > 0$ , что на полуинтервале  $[t_0, t_0 + \sigma)$  совокупность функций (1) является чебышевской системой. Интервал  $[t_0, t_0 + \sigma(t_0))$  будет называться *интервалом докритичности*. Простые примеры показывают, что функция  $t \rightarrow \sigma(t)$  (принимаяющая неотрицательные конечные значения или  $+\infty$ ) может быть разрывной. Кроме того, верна следующая лемма.

**Л е м м а 1.** Если  $t_0$  — точка разрыва функции  $\sigma(t)$ , то в этой точке выполнены неравенства

$$\sigma(t_0 - 0) \leq \sigma(t_0) \quad \text{и} \quad \sigma(t_0) \leq \sigma(t_0 + 0).$$

**Д о к а з а т е л ь с т в о.** Докажем второе неравенство. Предположим обратное, т.е.  $\sigma(t_0) > \sigma(t_0 + 0)$ , и запишем это неравенство следующим образом:  $\sigma(t_0) = \sigma(t_0 + 0) - \hat{\sigma}$ , где  $\hat{\sigma} > 0$  — величина предполагаемого «падения» функции  $\sigma(t)$  при разрыве в точке  $t_0$  (т.е.  $\hat{\sigma} = \lim_{t \rightarrow t_0+0} (\sigma(t) - \sigma(t_0))$ ). В этом случае для некоторого  $\varepsilon > 0$ ,  $\varepsilon < \hat{\sigma}$  существует нетривиальная линейная комбинация функций (1), имеющая  $n$  нулей на отрезке  $[t_0 + \varepsilon, t_0 + \sigma(t_0) - \hat{\sigma} + \varepsilon]$ , что в свою очередь противоречит тому, что всякая нетривиальная линейная комбинация функций (1) имеет на  $[t_0, t_0 + \sigma(t_0))$  не более  $n - 1$  нулей, поскольку отрезок  $[t_0 + \varepsilon, t_0 + \sigma(t_0) - \hat{\sigma} + \varepsilon]$  целиком лежит внутри интервала  $[t_0, t_0 + \sigma(t_0))$ . Следовательно,  $\hat{\sigma} \leq 0$ . Доказательство первого неравенства аналогично доказательству второго с той лишь разницей, что вместо предела справа нужно взять предел слева. Лемма доказана.

**П р и м е р 1.** На рис. 1 изображен график функции  $t \rightarrow \sigma(t)$ , полученный численно для системы функций  $\xi_1(t) = 1$ ,  $\xi_2(t) = \cos(t)$ . Этот пример иллюстрирует тот случай, когда  $\sigma(t_0 - 0) < \sigma(t_0)$ , а именно:  $\sigma(k\pi - 0) = 0$ ,  $\sigma(k\pi) = \pi$  для любого целого  $k$ .

**П р и м е р 2.** На рис. 2 изображен график функции  $t \rightarrow \sigma(t)$  для системы функций  $\xi_1(t) = e^t - 1$ ,  $\xi_2(t) = \sin(t^2)$ . Этот пример иллюстрирует тот случай, когда  $\sigma(t_0 - 0) = \sigma(t_0)$  в точке разрыва  $t_0 = 0$ .

Пусть для некоторой системы функций (1) и некоторого  $t_0$  выполнено  $\sigma(t_0) < \infty$ . Не уменьшая общности, можно считать, что в каждой линейной комбинации

$$\xi(t) \doteq c_1 \xi_1(t) + \dots + c_n \xi_n(t) \tag{2}$$

множители  $\{c_1, \dots, c_n\}$  обладают тем свойством, что

$$|\text{col}(c_1, \dots, c_n)| = 1,$$

поскольку нормирование вектора  $c \doteq \text{col}(c_1, \dots, c_n)$  не влияет на расположение нулей линейной комбинации (2). Таким образом,  $c \in S^{n-1}$  и в силу компактности множества  $S^{n-1}$  и линейности  $\xi(t)$  по  $c$  можно построить сходящуюся последовательность  $\{c^i\}_{i=1}^\infty$  такую, что соответствующая ей последовательность линейных комбинаций (которая будет

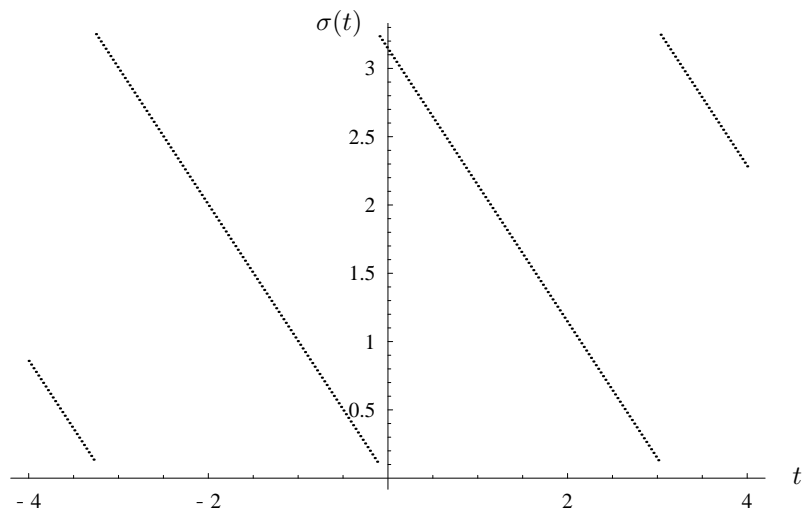


Рис. 1.  $\xi_1(t) = 1, \xi_2(t) = \cos(t)$

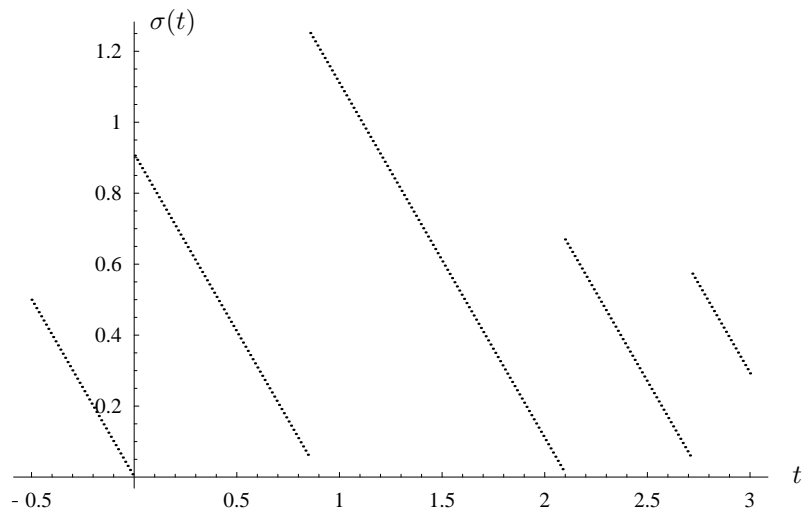


Рис. 2.  $\xi_1(t) = e^t - 1, \xi_2(t) = \sin(t^2)$

обозначена как  $\{\xi(t; c^i)\}_{i=1}^{\infty}$  обладает следующим свойством (здесь через  $\phi_n(\xi(t))$  обозначен  $n$ -й нуль функции  $\xi(t)$ ):

$$\lim_{i \rightarrow \infty} \phi_n(\xi(t; c^i)) = t_0 + \sigma(t_0).$$

Соответствующий предел  $\widehat{\xi}(t) \doteq \lim_{i \rightarrow \infty} \xi(t; c^i)$  будет называться *минимальной линейной комбинацией* функций (1).

Описываемый ниже вычислительный процесс представляет собой поиск минимальной линейной комбинации  $n$  непрерывных функций (1).

Строго говоря, поведение линейных комбинаций  $\xi(t)$  функций (1) необходимо исследовать на полуоси  $[t_0, +\infty)$ , но это невозможно в силу ограниченности вычислительных ресурсов. Поэтому все исследования производятся на *испытательном отрезке*  $[t_0, t_0 + T]$ , где  $T$  — некоторая наперед заданная константа, являющаяся параметром метода. Если ни одна линейная комбинация функций  $\xi_1(t), \dots, \xi_n(t)$  (получаемая численно) не имеет  $n$  нулей на отрезке  $[t_0, t_0 + T]$ , то полагается, что  $\sigma(t_0) \geq T$ .

1. Разобьем испытательный отрезок на  $N - 1$  частей, где  $N$  — еще один параметр метода. В результате этого разбиения будут получены точки  $t_0, t_1, \dots, t_{N-1}$ , где  $t_{N-1} = t_0 + T$ . Все значения исследуемых функций  $\xi_1(t), \dots, \xi_n(t)$  и их линейных комбинаций будут вычисляться в этих  $N$  точках.

Как было показано, все возможные линейные комбинации функций (1) могут быть нормированы таким образом, что  $|\text{col}(c_1, \dots, c_n)| = 1$ , и наборы множителей  $\{c_1, \dots, c_n\}$  достаточно выбирать таким образом, что  $c \in S^{n-1}$  (здесь, как и ранее,  $c = \text{col}(c_1, \dots, c_n)$ ). Более того, вместо сферы  $S^{n-1}$  достаточно ограничиться её полусферой, которая будет обозначаться  $S_+^{n-1}$ , поскольку линейные комбинации, получаемые на второй полусфере  $S_-^{n-1}$ , будут отличаться лишь знаком.

2. Пусть  $r_1, \dots, r_n$  произвольный нормированный базис в  $\mathbb{R}^n$ . Будем полагать

$$\begin{aligned} s_2 &= r_1 \sin \theta_1 + r_2 \cos \theta_1 \\ s_3 &= s_2 \sin \theta_2 + r_3 \cos \theta_2 \\ &\dots \\ s_n &= s_{n-1} \sin \theta_{n-1} + r_n \cos \theta_{n-1} \\ c &= \frac{s_n}{|s_n|}, \end{aligned}$$

где  $0 \leq \theta_i < \pi$ ,  $i = 1, \dots, n-1$ . Углы  $\theta_1, \dots, \theta_{n-1}$  представляют собой координаты вектора  $c$  в сферической координатной системе, заданной на  $S_+^{n-1}$ . Ортогональность базиса  $r_1, \dots, r_n$  не требуется, поскольку (с точки зрения оптимальности алгоритма) проще нормировать вектор  $s_n$ . Введя еще один параметр метода  $M$ , разобьем отрезок  $[0, \pi]$  на  $M+1$  частей и будем производить вычисления  $\xi(t)$  для каждого  $\theta_i = \frac{2k_i\pi}{M+1}$ ,  $k_i = 0, \dots, M-1$ ,  $i = 1, \dots, n-1$ . Таким образом, на полусфере  $S_+^{n-1}$  задано  $M^{n-1}$  различных точек  $c$ , для каждой из которых необходимо вычислить линейную комбинацию  $\xi(t) = c_1\xi_1(t) + \dots + c_n\xi_n(t)$  в каждой из  $N$  точек отрезка  $[t_0, t_0 + T]$ . Среди полученных функций  $\xi(t)$  выберем ту, которая имеет ближайший  $n$ -й нуль на  $[t_0, t_0 + T]$ , если таковой имеется (вектор  $c$ , соответствующий выбранной линейной комбинации будет обозначаться  $\bar{c}$ ). В противном случае полагаем  $\sigma(t_0) \geq T$  и заканчиваем процесс.

**З а м е ч а н и е 1.** На втором этапе необходимо произвести вычисление значений функций  $\xi(t)$  в  $N \cdot M^{n-1}$  точках. Разумеется, при больших  $n$  предлагаемый метод приведет к огромным вычислительным затратам и, вообще говоря, не может быть применим для «промышленного» использования (по крайней мере, при нынешнем уровне развития вычислительной техники). Но в исследовательских и демонстрационных целях этот метод дает приемлемые результаты. Например, автору удалось вычислить  $\sigma(t_0)$  для системы пяти функций (1) за несколько часов (все вычисления, результаты которых приводятся в этой статье, произведены с использованием персонального компьютера, оснащенного процессором Pentium с тактовой частотой 133 MHz).

Прежде чем продолжить описание алгоритма, рассмотрим примеры того, какой вид имеют линейные комбинации  $\xi(t)$ , получаемые на втором этапе алгоритма.

**П р и м е р 3.** На рис. 3 построена минимальная линейная комбинация  $\xi(t)$  функций  $\xi_1(t) = 1$ ,  $\xi_2(t) = t^2$ , вычисленная при следующих параметрах алгоритма:  $t_0 = -1$ ,  $T = 1.3$ ,  $N = 500$ ,  $M = 1000$ .

**П р и м е р 4.** На рис. 4 построена минимальная линейная комбинация  $\xi(t)$  функций  $\xi_1(t) = t$ ,  $\xi_2(t) = \sin(t)$ ,  $\xi_3(t) = \cos(t)$  при  $t_0 = -1$ ,  $T = 1.8$ ,  $N = 500$ ,  $M = 1000$ .

Эти простые примеры иллюстрируют одну важную особенность минимальных линейных комбинаций — возможны ситуации, когда корни минимальной линейной комбинации  $\xi(t)$  (полученной численно) «близки» друг к другу, что в пределе приводит к появлению одного корня кратности выше чем единица. Оказывается (этот факт не фиксирует-

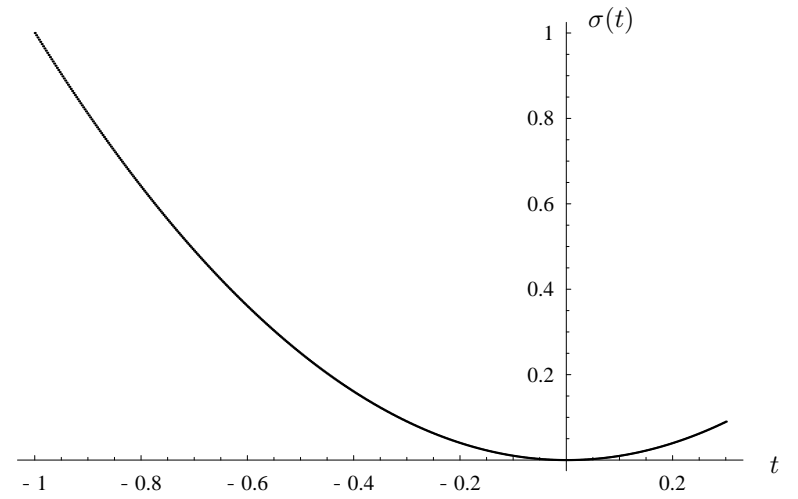


Рис. 3.  $\xi_1(t) = 1, \xi_2(t) = t^2$

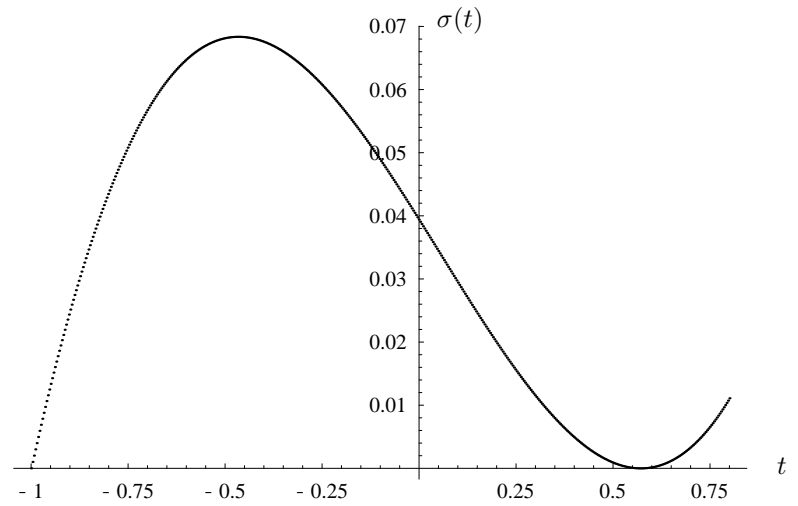


Рис. 4.  $\xi_1(t) = t, \xi_2(t) = \sin(t), \xi_3(t) = \cos(t)$

ся в этой статье), что такая ситуация типична для тех случаев, когда функции  $\xi_1(t), \dots, \xi_n(t)$  представляют собой решения обыкновенного дифференциального уравнения или квазидифференциального уравнения  $n$ -го порядка. Здесь же важно, что такие случаи возможны, и это существенно усложняет численную оценку функции  $\sigma(t)$ . В самом деле, как видно из этих рисунков, небольшое изменение множителей  $\{c_1, \dots, c_n\}$  (или, другими словами, небольшой сдвиг вектора  $c$  на полусфере  $S_+^{n-1}$ ) приводит к сильному сдвигу  $n$ -го корня функции  $\xi(t)$  и даже к исчезновению этого корня, что выглядит на рисунке как отрыв графика  $\xi(t)$  от оси абсцисс. Для подавления этого эффекта служат следующие два этапа алгоритма.

3. Вектору  $\bar{c}$ , полученному на втором этапе алгоритма, соответствуют сферические координаты  $\bar{\theta}_1, \dots, \bar{\theta}_{n-1}$ . Введем еще один параметр метода  $M_2$  и повторим процедуру, описанную во втором этапе, но не на всей полусфере, а на том её участке, который ограничен квадратом (в сферических координатах)

$$\left[ \bar{\theta}_1 - \frac{\pi}{M-1}, \bar{\theta}_1 + \frac{\pi}{M-1} \right] \times \dots \times \left[ \bar{\theta}_{n-1} - \frac{\pi}{M-1}, \bar{\theta}_{n-1} + \frac{\pi}{M-1} \right]$$

с заменой параметра  $M$  на  $M_2$ . Этот прием позволяет получить более близкую к минимальной линейную комбинацию  $\xi(t)$  с такой точностью, как если бы вычисления на втором этапе производились со значением параметра  $M$ , равным  $M \cdot M_2$ . На самом же деле произведено  $N \cdot (M^{n-1} + M_2^{n-1})$  вычислений значений функции  $\xi(t)$ .

4. Если после выполнения третьего этапа выяснено, что  $n$ -й и  $(n-1)$ -й нули функции  $\xi(t)$  еще больше сблизилась (по сравнению со вторым этапом) и расстояние между ними стало меньше, чем  $\frac{2T}{N-1}$ , то предполагается, что в пределе эти точки совпадут, образовав корень кратности выше чем единица. В этом случае в качестве результата работы алгоритма (т.е. точки  $t_0 + \sigma(t_0)$ ) принимается среднее арифметическое значений  $n$ -го и  $(n-1)$ -го нулей функции  $\xi(t)$ , полученных на третьем этапе. В противном случае в качестве результата принимается значение  $n$ -го нуля функции  $\xi(t)$ .

Нетрудно видеть, что погрешность алгоритма в силу построения не превышает  $1/N$  и может быть значительно уменьшена при помощи интерполяции функции  $\xi(t)$  в окрестности своего  $n$ -го нуля.

Описанный выше алгоритм будет называться «медленным», поскольку он допускает усовершенствование для тех случаев, когда первый нуль минимальной линейной комбинации функций (1) находится

в точке  $t_0$ . Такая ситуация имеет место при выполнении условий теоремы 2 работы [2] при  $\xi_i(t) = \psi_i(t)b(t)$  (см. формулировку теоремы). Неформальный смысл этой теоремы состоит в том, что функции  $\xi_i(t)$  оказываются решениями обыкновенного дифференциального или квазидифференциального уравнения  $n$ -го порядка. Введя обозначение  $\xi_0 = (\xi_1(t_0), \dots, \xi_n(t_0))$ , выделим из сферы  $S^{n-1}$  те точки  $c'$ , для которых  $\xi_0 c' = 0$ . Полученное множество будет являться сферой  $S^{n-2}$ . Выделим произвольным образом из этой сферы полусферу  $S_+^{n-2}$ . Заменяя в описанном выше алгоритме полусферу  $S_+^{n-1}$  на только что построенную полусферу  $S_+^{n-2}$ , получим алгоритм, который будет называться «быстрым». В результате применения этого алгоритма получаются минимальные линейные комбинации, имеющие нуль в точке  $t_0$ .

#### Список литературы

1. Крейн М. Г., Нудельман А. А. Проблема моментов Маркова и экстремальные задачи. М., 1973.
2. Николаев С.Ф., Тонков Е.Л. Дифференцируемость функции быстрого действия и позиционное управление линейной нестационарной системой // Изв. Ин-та матем. и информ. 1996. № 2(8). С. 47–68.